

# Машинная графика Computer Graphics

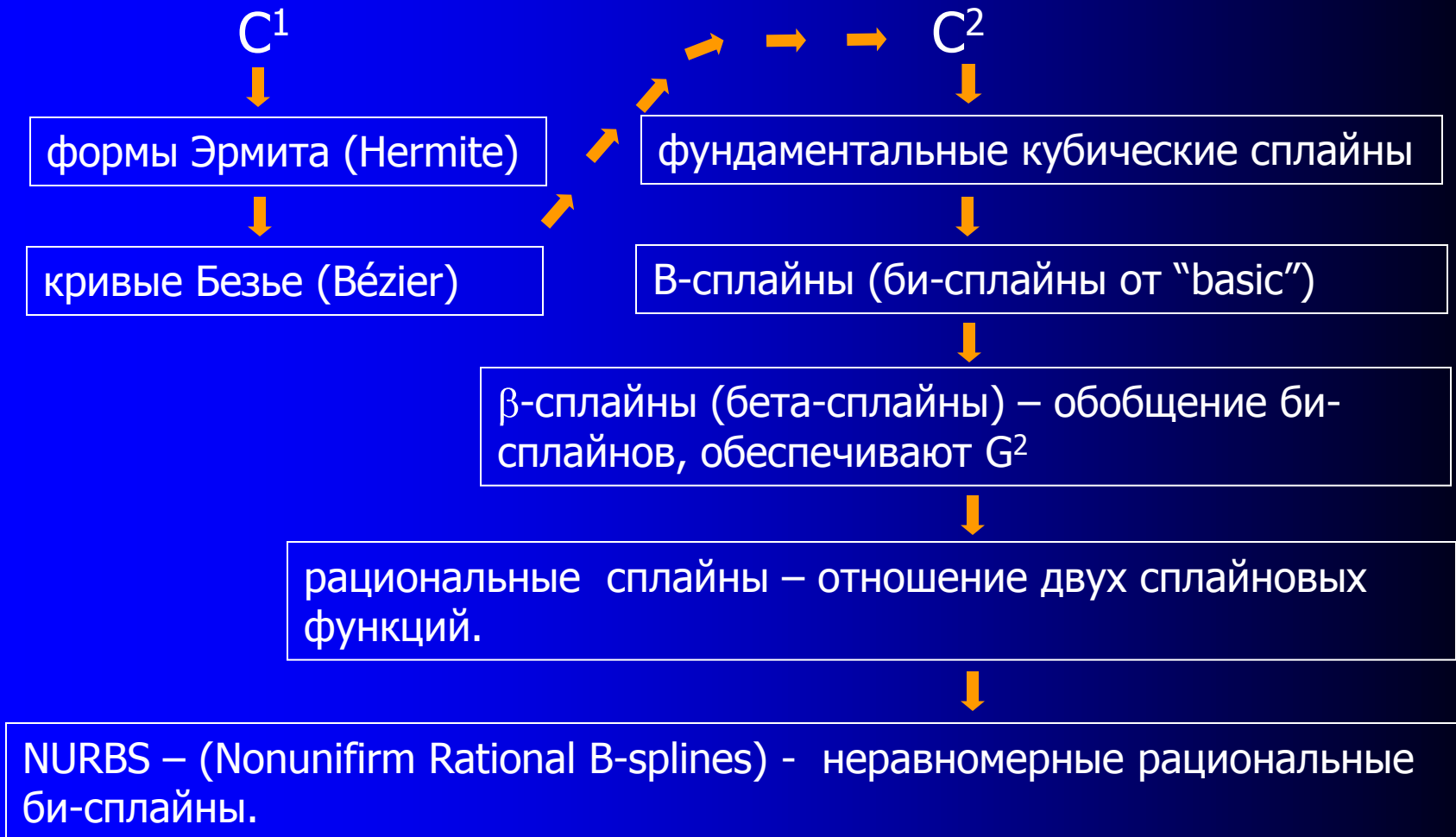
Лекция 15.

«Аппроксимация функций - II»

# План лекции

- Фундаментальные сплайны
- Би-сплайны
- Рациональные сплайны
- NURBS
- Построение гладких поверхностей

# Основные параметрические кубические кривые



# Разновидности сплайновых функций

В книге Херна и Бейкера «Компьютерная графика и стандарт OpenGL» описаны следующие разновидности сплайнов:

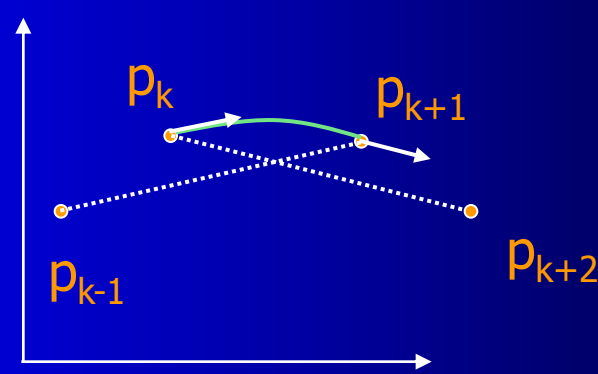
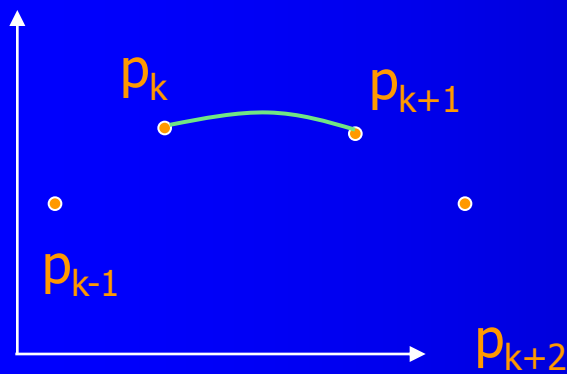
- естественные кубические сплайны (стр. 603),
- Эрмитова интерполяция (стр. 604),
- фундаментальные сплайны (стр. 607),
- сплайны Коханека-Бартелса (стр. 609),
- сплайновые кривые Безье (стр. 611),
- кубические кривые Безье (стр. 620),
- би-сплайны (стр. 624),
- равномерные периодические би-сплайны (стр. 626),
- кубические периодические би-сплайны (стр. 630),
- открытые равномерные би-сплайны (стр. 632),
- неравномерные би-сплайны (стр. 634),
- бета-сплайны (стр. 636),
- рациональные сплайны (стр. 638),
- NURBS (стр. 639).

# Фундаментальные сплайны

- Фундаментальные сплайны – это интерполирующие кусочно-кубические полиномы с заданными касательными в конечных точках (на границах участков кривой).
- В отличие от форм Эрмита значения касательных в конечных точках вводить отдельно не требуется.
- Для фундаментального сплайна касательная в контрольной точке вычисляется по координатам двух соседних контрольных точек (узлов интерполяции).
- Участок фонд. сплайна полностью задаётся положениями четырёх последовательных узлов интерполяции (контр. точек). Две средние точки являются конечными точками участка, две другие используются при расчёте касательных в конечных точках.
- Пусть:  $P(0) = p_k$ ,  $P(1) = p_{k+1}$ , тогда одним из вариантов м.б. -  $P'(0) = \frac{1}{2} (1-w)(p_{k+1} - p_{k-1})$  и  $P'(1) = \frac{1}{2} (1-w)(p_{k+2} - p_k)$ .

# Фундаментальные сплайны

- Таким образом, касательные в точках  $p_k$  и  $p_{k+1}$  считаются пропорциональными хордам  $p_{k-1}p_{k+1}$  и  $p_k p_{k+2}$ , а  $w$  называется параметром натяжения – он отвечает за то, насколько «тесно» сплайн соответствует входным контрольным точкам.



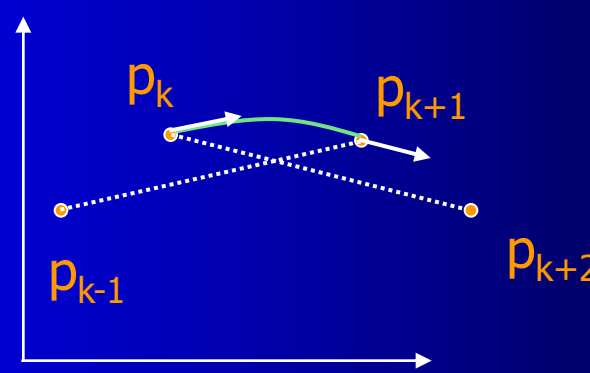
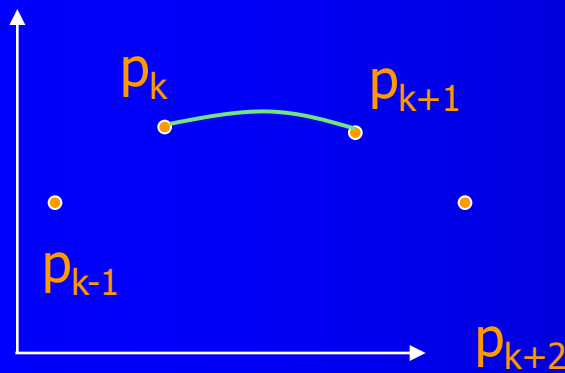
$w < 0$  (Более «ослабленная» кривая)



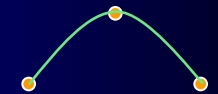
$w > 0$  (Более «натянутая» кривая)

# Фундаментальные сплайны

- При  $w=0$ , данный класс кривых называется **сплайнами Катмалла-Рома** (Catmull-Rom splines) или **сплайнами Оувергаузера** (Overhauser splines).



$W < 0$  (Более «ослабленная» кривая)



$W > 0$  (Более «натянутая» кривая)

# Фундаментальные сплайны

Аналогично формам Эрмита и кривым Безье, можно выразить:

$$Q(t) = \begin{bmatrix} t^3 & t^2 & t & 1 \end{bmatrix} M_C \begin{bmatrix} P_{k-1} \\ P_k \\ P_{k+1} \\ P_{k+2} \end{bmatrix}$$

$$M_C = \begin{bmatrix} -s & 2-s & s-2 & s \\ 2s & s-3 & 3-2s & -s \\ -s & 0 & s & 0 \\ 0 & 1 & 0 & 0 \end{bmatrix}$$

где  $s = (1-w)/2$

$$Q(t) = (-t^3 + 3t^2 - 3t + 1)P_0 + (3t^3 - 6t^2 + 3t)P_1 + (-3t^3 + 3t^2)P_2 + t^3 P_3$$

$$Q(t) = (1-t)^3 P_0 + 3t(t-1)^2 P_1 + 3t^2(1-t)P_2 + t^3 P_3$$



# Фундаментальные сплайны

$$M_C = \begin{bmatrix} -s & 2-s & s-2 & s \\ 2s & s-3 & 3-2s & -s \\ -s & 0 & s & 0 \\ 0 & 1 & 0 & 0 \end{bmatrix} \quad \text{где } s = (1-w)/2$$

В развёрнутом виде:

$$Q(t) = (-st^3 + 2st^2 - st)p_{k-1} + ((2-s)t^3 + 6(s-3)t^2 + 1)p_k + \\ + ((s-2)t^3 + (3-2s)t^2 + st)p_{k+1} + (st^3 - st^2)p_{k+2}$$

или:

$$Q(t) = CAR_0(t)p_{k-1} + CAR_1(t)p_k + CAR_2(t)p_{k+1} + CAR_3(t)p_{k+2}$$

# Фундаментальные сплайны

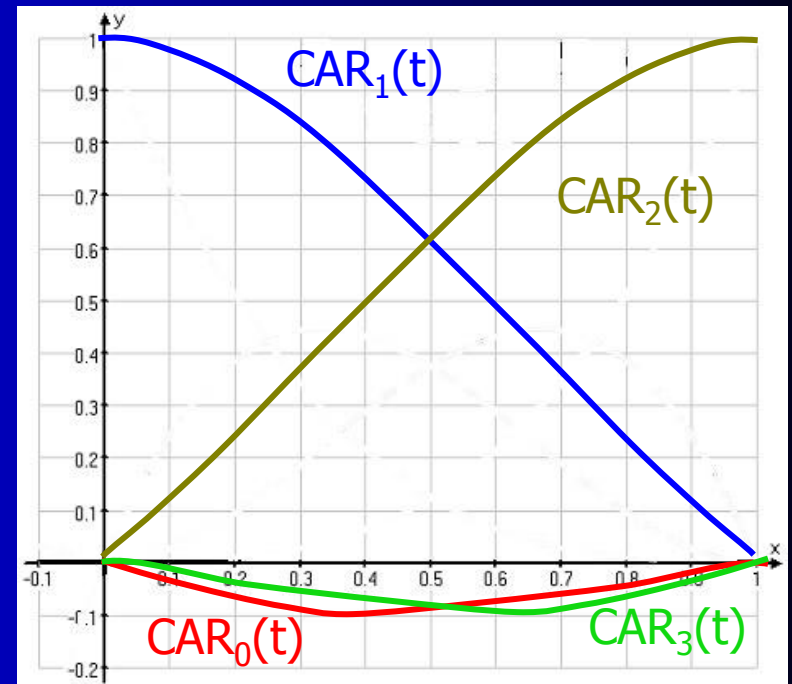
Стыковочные функции фундаментальных сплайнов:

$$CAR_0(t) = -st^3 + 2st^2 - st$$

$$CAR_1(t) = (2-s)t^3 + 6(s-3)t^2 + 1$$

$$CAR_2(t) = (s-2)t^3 + (3-2s)t^2 + st$$

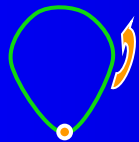
$$CAR_3(t) = st^3 - st^2$$



при  $w=0$  ( $s = 1/2$ )

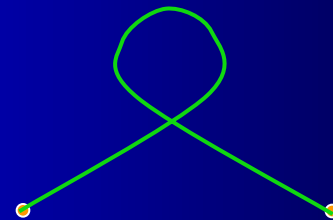
# Фундаментальные сплайны

Примеры:



$$p_1 = p_2$$

Петля фундаментального сплайна, полученная при совпадающих конечных точках кривой.  
Натяжение  $w=0$ .



$$p_1$$

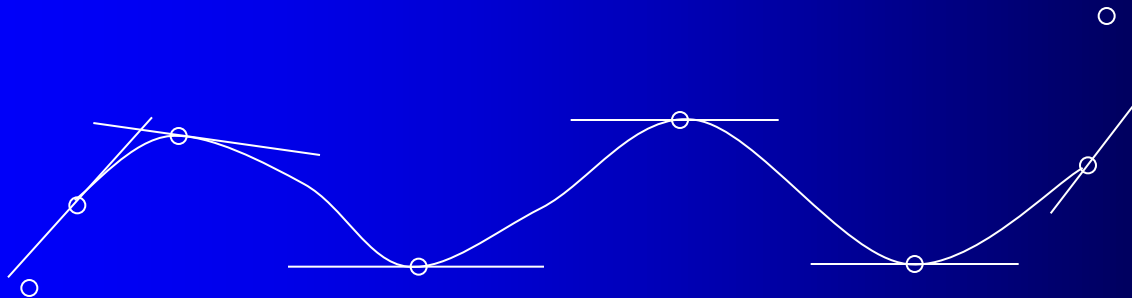
$$p_2 \approx p_3$$

Самопересекающаяся кривая, порождённая близостью расположенных конечных точек.  
Натяжение  $w=0$ .

# Example Interpolation Spline.

Catmull-Rom spline interpolates control points. The gradient at each control point is the vector between adjacent control points.

$$P^i(t) = T \cdot M_{CR} \cdot G_B$$
$$= \frac{1}{2} \cdot T \cdot \begin{bmatrix} -1 & 3 & -3 & 1 \\ 2 & -5 & 4 & -1 \\ -1 & 0 & 1 & 0 \\ 0 & 2 & 0 & 0 \end{bmatrix} \cdot \begin{bmatrix} P_{i-3} \\ P_{i-2} \\ P_{i-1} \\ P_i \end{bmatrix}$$



# Би-сплайны

- Би-сплайны ближе к кривым Безье, чем к формам Эрмита.
- Би-сплайны аппроксимируют (!) набор контрольных точек.
- По сравнению с кривыми Безье следующие преимущества:
  - Степень полинома би-сплайна можно задать независимо от числа контрольных точек (с определёнными ограничениями),
  - Би-сплайны допускают локальный контроль над формой кривой.
- Недостаток – большая сложность би-сплайнов по сравнению с кривыми Безье.

Общий вид:

$$P(t) = \sum_{k=0}^n p_k B_{k,d}(t), \quad t_{\min} \leq t \leq t_{\max}, \quad 2 \leq d \leq n+1$$

# Би-сплайны

$$P(t) = \sum_{k=0}^n p_k B_{k,d}(t), \quad t_{\min} \leq t \leq t_{\max}, \quad 2 \leq d \leq n+1$$

где:  $p_k$  – входной набор из  $n+1$  контрольных точек.

Стыковочные функции би-сплайна  $B_{k,d}$  – это полиномы степени  $d-1$ , где  $d$  – параметр степени.

Стыковочные функции для би-сплайнов определяются рекурсивными формулами **Кокса-де-Бура (Cox-deBoor)**:

$$B_{k,1}(t) = \begin{cases} 1, & \text{если } t_k \leq t \leq t_{k+1}, \\ 0, & \text{в противном случае.} \end{cases}$$

$$B_{k,d}(t) = \frac{(t - t_k)}{t_{k+d-1} - t_k} B_{k,d-1}(t) + \frac{(t_{k+d} - t)}{t_{k+d} - t_{k+1}} B_{k+1,d-1}(t)$$

# Би-сплайны

Каждая стыковочная функция определена на своём подинтервале (общее число -  $d$ ) общего диапазона  $t$ .

Конечная точка каждого подинтервала  $t_j$  называется **узлом**, а весь набор конечных точек выбранных подинтервалов - **вектором**.

Значения конечных точек подинтервалов можно выбирать любыми при условии, что  $t_j \leq t_{j+1}$ . После чего, значения  $t_{\min}$  и  $t_{\max}$  зависят от числа выбранных контрольных точек, значения параметра  $d$  и вектора узлов.

Прим. – Поскольку элементы вектора узлов можно выбрать так, что некоторые знаменатели в формулах Кокса-де Бура будут обращаться в 0, принимается что 0/0 будет равным 0.

$$B_{k,1}(t) = \begin{cases} 1, \text{ если } t_k \leq t \leq t_{k+1}, \\ 0, \text{ в противном случае.} \end{cases}$$

$$B_{k,d}(t) = \frac{(t - t_k)}{t_{k+d-1} - t_k} B_{k,d-1}(t) + \frac{(t_{k+d} - t)}{t_{k+d} - t_{k+1}} B_{k+1,d-1}(t)$$

# Рациональные сплайны

Рациональная функция представляет собой просто отношение двух полиномов. Соответственно, рациональный сплайн – это отношение двух сплайновых функций.

Например, рациональный би-сплайн можно описать радиус-вектором:

$$P(t) = \frac{\sum_{k=0}^n w_k p_k B_{k,d}(t)}{\sum_{k=0}^n w_k B_{k,d}(t)}$$

где  $p_k$ - набор из  $n+1$  положений контрольных точек. Параметры  $w_k$  – весовые коэффициенты контрольных точек. Чем больше значение определённого  $w_k$ , тем ближе кривая притягивается к контрольной точке  $p_k$ , взвешенной этим параметром. Когда всем весовым коэффициентам будут присвоены значения 1, получим стандартный би-сплайн, поскольку знаменатель в этом случае – просто набор стыков. функций (их сумма =1)



# Рациональные сплайны

## Преимущества:

Рациональные сплайны **точно представляют кривые второго порядка** (конические сечения), как окружности, эллипсы и т.д.

Нерациональные сплайны могут только аппроксимировать конические сечения.

Рациональные сплайны **инвариантны относительно перспективной проекции**. Это означает, что перспективное преобразование можно примерять к контрольным точкам рациональной кривой и получится правильная проекция кривой.

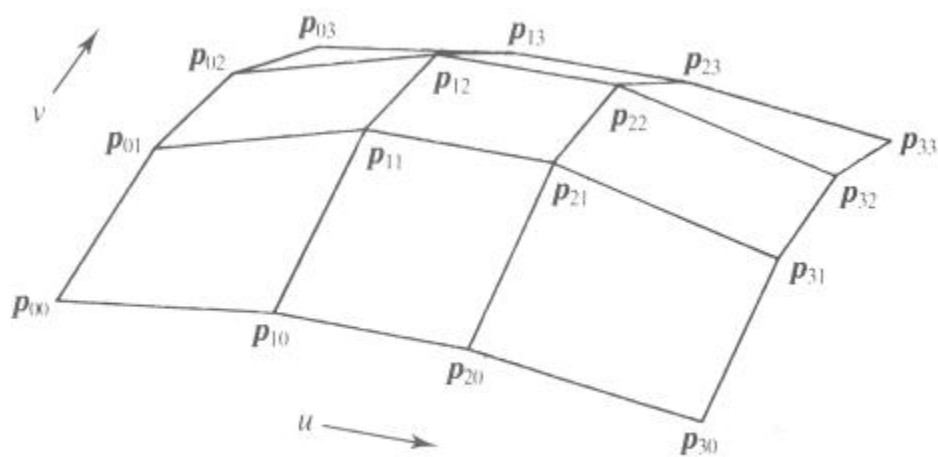
Не рациональные сплайны не инвариантны к перспективной проекции.

# NURBS

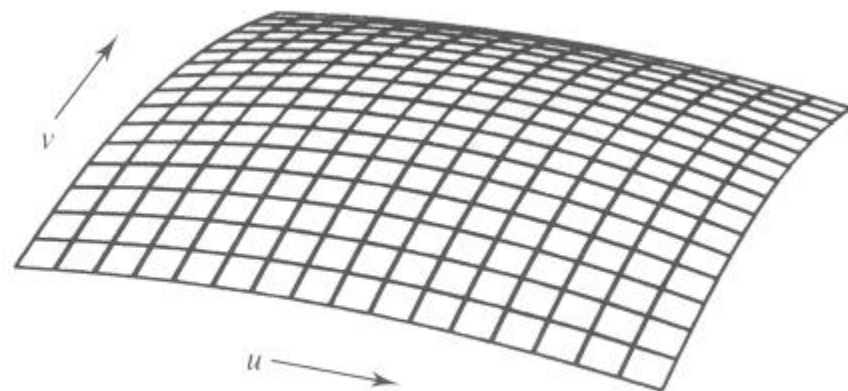
Обобщение идеи рациональных сплайнов – рациональные би-сплайны с неравномерным представлением вектора узлов (именно для удобства перспективных преобразований). Данные сплайны называются NURBS:

*Non-uniform Rational B-Splines* – неравномерные (неоднородные) рациональные би-сплайны.

# Поверхности Безье



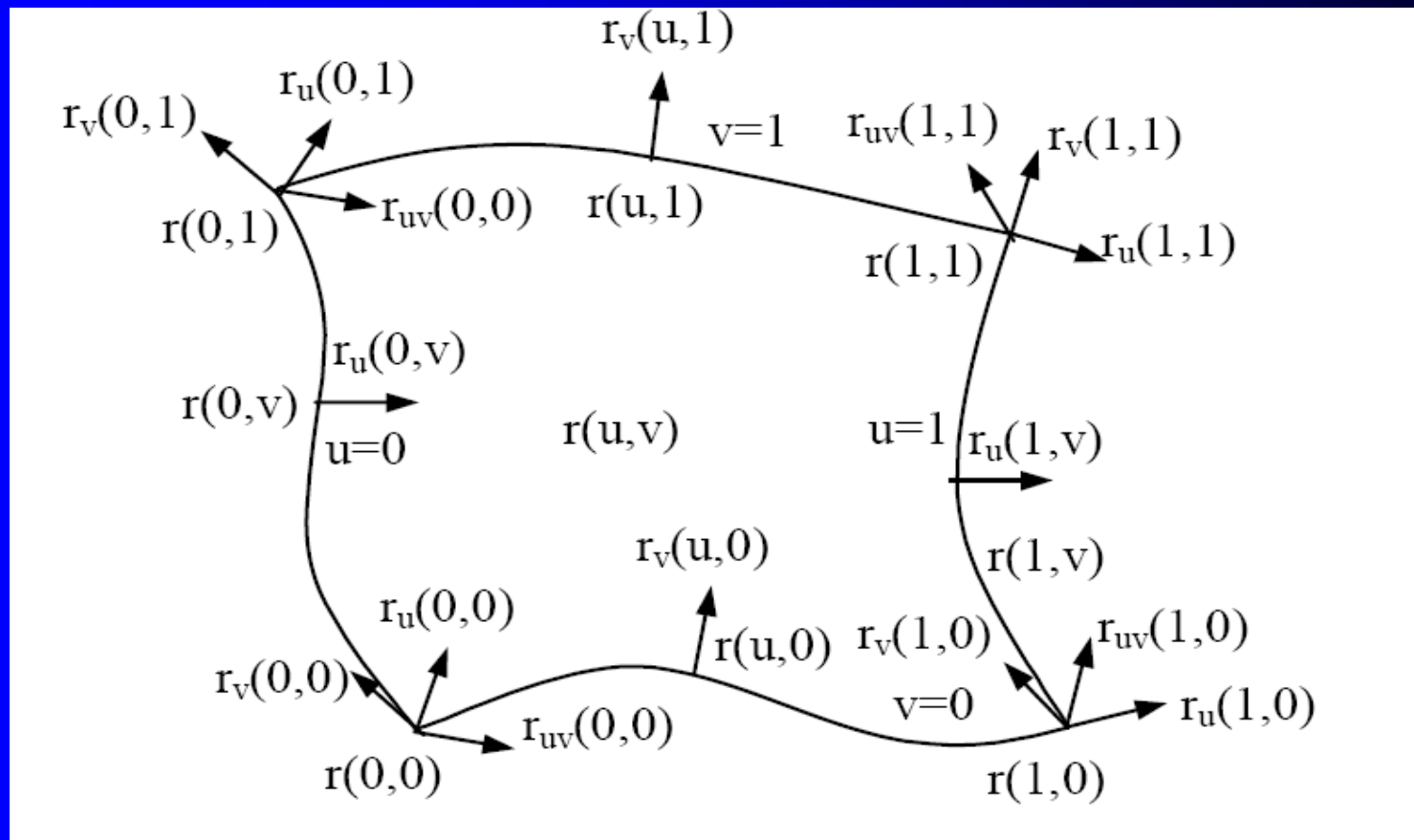
(a)



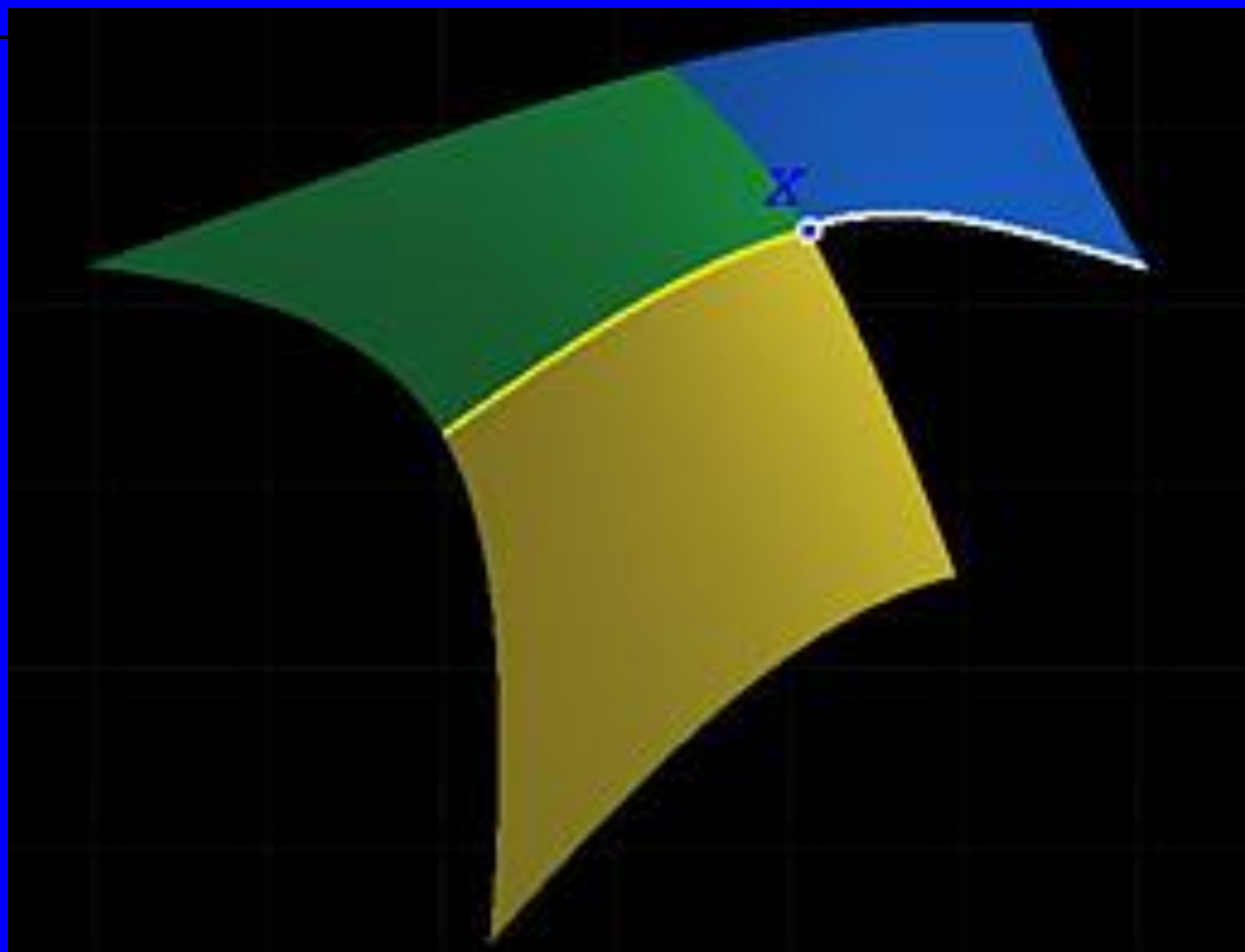
(b)

$$Q(u, v) = \sum_{i=0}^3 \sum_{j=0}^3 p_{ij} b_i(u) b_j(v)$$

# Непрерывность



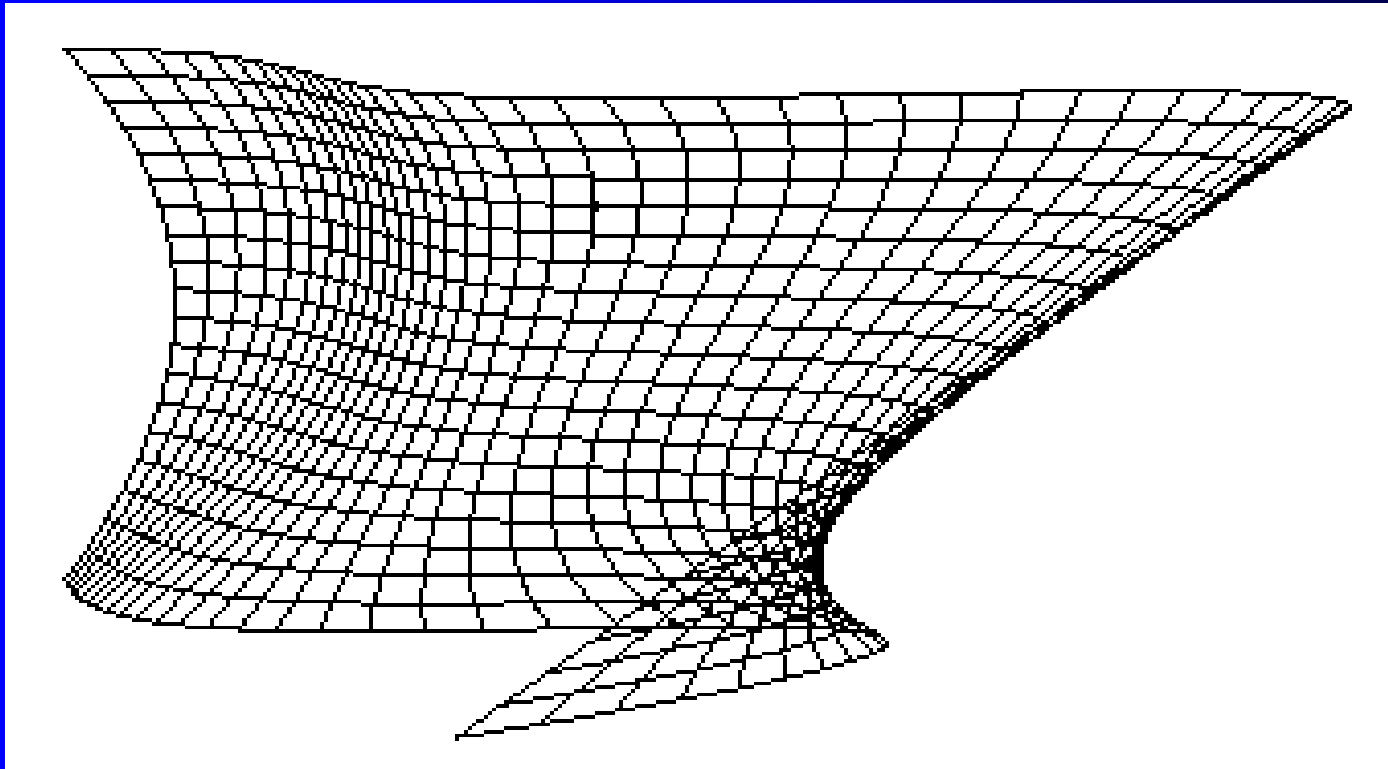
# Непрерывность



# Surfaces – a simple extension

- Easy to generalise from cubic curves to bicubic surfaces.
- Surfaces defined by parametric equations of two variables,  $s$  and  $t$ ,  $0 \leq s \leq 1$  and  $0 \leq t \leq 1$
- ie. a surface is approximated by a series of crossing parametric cubic curves
- Result is a polygon mesh and decreasing step size in  $s$  and  $t$  will give a mesh of small near-planar quadrilateral patches and more accuracy.

# Example Bézier surface



# Control of surface shape

- Control is now a 2D array of control points.
- The two parameter surface function, forming the tensor product with the blending functions  $X(s,t) = \sum_{ij} f_i(s) f_j(t) q_{ij}$   
*similarly for Y(s,t) and Z(s,t)*
- Use appropriate blending functions for Bézier and B-Spline surface functions.
- Convex Hull property is preserved since bicubic is still a weighted sum (1).



# Bézier example

- Matrix formulation is as follows:

$$x(s, t) = s^T \cdot M_B \cdot q_x \cdot M_B^T \cdot t$$

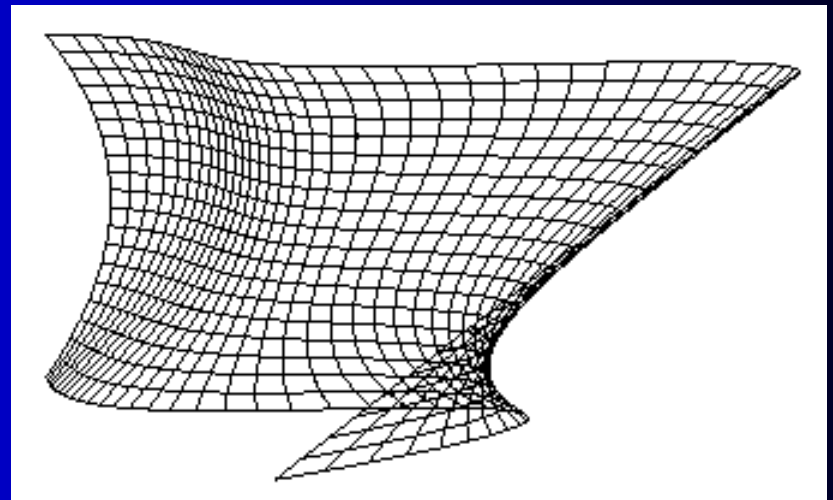
$q_x$  is  $4 \times 4$  array of  $x$  coords

$$y(s, t) = s^T \cdot M_B \cdot q_y \cdot M_B^T \cdot t$$

$q_y$  is  $4 \times 4$  array of  $y$  coords

$$z(s, t) = s^T \cdot M_B \cdot q_z \cdot M_B^T \cdot t$$

$q_z$  is  $4 \times 4$  array of  $z$  coords



Substitute suitable values for  $s$  and  $t$  (20 in the above ex.)

# B-Spline surfaces

- Break surface into 4-sided patches choosing suitable values for  $s$  and  $t$ .
- Points on any external edges must be multiple knots of multiplicity  $k$ .
- Lot more work than Bézier.
- There are other types of spline systems and NURBS modelling packages are available to make the work much easier.
- Use polygon packages for display, hidden-surface removal and rendering. (Bézier too)

# Continuity of Bicubic patches.

- Hermite and Bézier patches
  - $C_0$  continuity by sharing 4 control points between patches.
  - $C_1$  continuity when both sets of control points either side of the edge are collinear with the edge.
- B-Spline patch.
  - $C_2$  continuity between patches.